

(HUANJING KEXUE)

ENVIRONMENTAL SCIENCE

第37卷 第8期

Vol.37 No.8

2016

中国科学院生态环境研究中心 主办

科学出版社出版



採 施 静 享 (HUANJING KEXUE)

ENVIRONMENTAL SCIENCE

第37卷 第8期 2016年8月15日

目 次

在金兔、李云蜂、张大虎、张赤、熊素、熊果、新参州、王少英、常性则、何采为、程序灰、皮肿、马立花、星星生、另几(2847) 成规都不同大气颗粒物中无机水溶性离子污染特征	中国地区二次有机气溶胶的时空分布特征和来源分析
成都平原大气颗粒物中无机水溶性或子污染特征	程念亮,李云婷,张大伟,陈添,魏强,孙彤卉,王步英,富佳明,何乐为,程兵芬,皮帅,马立光,崔继宪,孟凡(2847) 抗战胜利70周年大阅兵期间石家庄大气细颗粒物在线来源解析 ····································
無円市を平一次持续奏極近世中气象条件与污染物型化容能分析。	
版用单层外产业业高版下、影响国家及理联风险、以黄阳印为网 郭奎思 于爽、整水港、井安、有著雪(2907)农田士璇随用另列郑望凤肥后气态成(NH、和N、O)减排效果比较(以及玉米季为例 结合、类糖螺、浆芡、精铯(2906)音尚南部高阳医阳等则均生长产高寒草甸土蛋仓(、CH、和N、O)通用的观测 疾来,	嘉兴市春李一次持续雾霾过程中气象条件与污染物变化特征分析
三峡库化介流域土地利用指持空化及其氮素输出控制效应,以三岭聚外流域为例	泉州市大气降尘中金属元素污染特征及来源解析 ····································
三峡库化介流域土地利用指持空化及其氮素输出控制效应,以三岭聚外流域为例	桂林市酸雨变化特征及来源分析 ····································
三峡库区小流域土地利用时空格局的响应研究,以洱海土部流域为例	青海南部高原积雪期与生长季高寒草甸土壤 CO_2 、 CH_4 和 N_2O 通量的观测 ······················· 吴建国,周巧富(2914) 三峡库区香溪河秋末至中冬 CO_2 和 CH_4 分压特征分析 ············ 张军伟,雷丹,肖尚斌,张成,穆晓辉,刘佳,李迎晨(2924)
人两河流水原对土地利用印空格向的响应的影响。以管質的另侧 長睫形 罗光宫 操滴 走雨春,汪福,邓阜(2947)农田银流人工深湿地貌格局暂态存储特征分析 李如忠、黄青飞、钱鸡、殿晓蟆、韦林(2964)农田排水海梁水体、底池中溶质级分布转征试验研究 李忠、黄青飞、钱鸡、殿晓蟆、韦林(2964)农田排水海梁水体、底池中溶质级分布转征试验研究 李惠·曹夷、克利夏、江长胜、黄疸,茂迭纬、静庆菊(2973)重金属在河口区潮汐界面与盐度界面响应规律研究 刘参、郑丙萍、刘孝、马迎鲜、林西埭、王骏、夏阳(2989)瑶圳地区全氟辛烷酶酸的环境多介质迁移和归趋行为研究 杜晓中、平龙,罗骥、黑岩冰(3001)北运河水体中安光溶解性有机物空间分布特征及来源分析 卫亚宁 泽佳钊、宋玉梅、郭畴焦、王毅(3007)北运河水体中安光溶解性有机物空间分布特征及全服分价 卫亚宁 泽佳钊、宋玉梅、郭畴焦、王毅(3007)北运河水体中安光溶解性有机物空间分布特征及来源分析 原水纳,纳玮璇、虎村正、王晚惠(3007)北运河水体中安光溶解性有机物空间分布特征及全流设析 原是 35年,所来,纳,纳玮璇、虎村正、王晚惠(3017)昌邑族海湿地沉积物的放射性核索水平与环境指示意义 王启栋、宋金则、李字刚、袁华茂、寿宁、曹裔(3026)南郊对油、起水和地区和制厂水中酿酸酯的污染现状与分布特征 高虑 赵兴龙、刘璞、耿梦烁、乔肖翠(3041)雨季不同土地利用下表层岩溶泉中脂肪酸米源分析 张娟,外玉川、湖正兰、安菜、或唱、《3033)滤沱河冲洪租埠地下水中酿酸酯的污染现状与分布特征 高速、赵兴龙、刘璞、耿梦烁、乔肖翠(3041)雨季不同土地利用下表层岩溶泉中脂肪酸米源分析 张娟,光玉川、湖正兰、安菜、或唱、采货兵(3049)之后,《1018 覆膜改性人工器建物者及或的证与机制研究 下,继列东,于宋即,罗从传,江进,马军(3067)下户生物效地板反应器处理水中胸瘤的研究 下 宋姐,矛王,明,严,罗,从传,五进,马军(3067)下户生物效地板反应器处理水中胸瘤的研究。 下 宋姐,亲,张明、宋中,是阳、张明、《3079)单周级染料 A117 的光能化论解析动力学及机制 阳海、魏张康、明东、宋东、秦、韩、陈韩、、森市,阳(31094)膜曝气生物强化处理高等和光化及其间排析,或和,从海、于朱高、张静、陈晓轩、张嘉、杨阳兵(3108)居住产海大型,全域的岩彩版区区层层层设端的沿线,东海、水潭、赤海、水潭、高阳(31094)膜藤石、414亩。至于水水、415亩。315亩。316亩。316亩。316亩。316亩。316亩。316亩。316亩。316	气候变化对于桥水库总磷与溶解氧的潜在影响分析 ····································
重金属在河口区潮汐界面与盐度界面响应规律研究	一人湖冲流水面双土物利用时交格角的响应研究,以准强化部流或为物。 坝须 庞 滟 储略井 胡小豆 补利 饒力强(2947)
重金属在河口区潮汐界面与盐度界面响应规律研究	库湾宫养盐循环对三峡库区宫养盐输运的影响:以阜室河为例 土
深川地区全业子院顺阪的外现多分质止移和归起行为明党 枯林湾麦层沉积物中有机氯依药的分布特征及来源分析	农田排水沟渠水体-底泥甲溶灰氮分布特征试验研究····································
拓林湾表层沉积物中有机氯农药的分布特征及生态风险评价 比运河水体中荧光溶解性有机物空间分布特征及来源分析	重金属在河口区潮汐界面与盐度界面响应规律研究
昌邑滨海湿地沉积物的放射性核素水平与环境指示意义	柘林湾表层沉积物中有机氯农药的分布特征及生态风险评价 卫亚宁,潘佳钊,宋玉梅,郭鹏然,王毅(3007)
乙n 系 LDHs 覆膜或性人工湿地沸石基质除磷机制	昌邑滨海湿地沉积物的放射性核素水平与环境指示意义 ············ 王启栋,宋金明,李学刚,袁华茂,李宁,曹磊(3026) 甾醇对南山老龙洞地下河娄便污染的指示 ············· 廖杲 孙玉川 王尊波 梁作兵 张远瞩(3034)
Ce**与Cu**协同强化分顺体条氧化苯酚的效能与机制研究	滹沱河冲洪积扇地下水中酞酸酯的污染现状与分布特征 ····································
P/生物炭电极反应器处理水中腐殖酸的研究	Ce ² "与Cu ² "协同强化分顿体系氧化苯酚的效能与机制研究 ············ 张剑桥, 迟惠中, 宋阳, 岁从伟, 江进, 马车(3067)
单偶氮染料 AY17 的光催化降解动力学及机制 阳海,魏宏庆,胡乐天,胡倩,阳立平,刘华杰,易翔,易兵(3086)硫自养反硝化处理高含氟光伏废水可行性	Pt/生物炭电极反应器处理水中腐殖酸的研究 ····································
膜曝气生物膜反应器生物强化处理阿特拉津废水运行性能	单偶氮染料 AY17 的光催化降解动力学及机制 阳海,魏宏庆,胡乐天,胡倩,阳立平,刘华杰,易翔,易兵(3086) 硫自养反硝化处理高含氟光伏废水可行性 马航,朱强,朱亮,李祥,黄勇,魏凡凯,杨朋兵(3094)
超低溶解氧条件下的 EBPR 系统除磷性能	- 腹曝气-生物膜反应器生物强化处理阿特拉津废水运行性能 刘素 干长富 张静 陈晓轩 张磊 杨景亮(3101)
超低溶解氧条件下的 EBPR 系统除磷性能	活性污泥厌氧 Fe(Ⅲ)还原氨氧化现象初探 ····································
里子垃圾拆解区土壤重金属空间异质性及分布特征	超低溶解氧条件 h 的 EBPR 系统除磷性能 ····································
流动搅动法研究针铁矿对亚砷酸盐的吸附特征 —— 李鑫,杨军,饶伟,王代长,杜光辉,化党领,刘世亮,刘红思(3169)聚羟基铝柱撑硅藻土的制备及其对水溶液中Cu²+、Zn²+的吸附特性 —— 朱健,雷明婧,王平,张伟丽,陈仰(3177)新型污泥基吸附材料制备及其氨氮去除性能评价 —— 王文东,刘荟,张银婷,杨生炯(3186)纳米复合水凝胶的制备及其对重金属离子的吸附 —— 朱倩,李正魁,张一品,韩华杨,王浩(3192)鼠李糖脂与β-环糊精复合提取预测污染土壤中 PAHs 的生物有效性 —— 张亚楠,杨兴伦,卞永荣,谷成刚,王芳,王代长,蒋新(3201)不同磷水平下丛枝菌根真菌对纳米氧化锌生物效应的影响 —— 景新新,苏志忠,邢红思,王发园,石兆勇,刘雪琴(3208)中美水生生物基准受试物种敏感性差异研究 —— 王晓南,闫振广,余若祯,王婉华,陈丽红,刘征涛(3216)贫营养和痕量抗生素对质粒抗生素抗性适应度代价的影响 —— 林文芳,陈胜,万堃,王春明,林惠荣,于鑫(3224)不同氮水平下间作对玉米土壤硝化势和氨氧化微生物数量的影响 —— 吕玉,周龙,龙光强,汤利(3229)	田东省典型金矿区土壤里金属空间特征分析与环境风险评估
聚羟基铝柱撑硅藻土的制备及其对水溶液中Cu²+、Zn²+的吸附特性	我国 18 种不同理化性质的土壤对硒酸盐的吸附解吸作用研究 ····································
	聚羟基铝柱撑硅藻土的制各及甘对水溶液由 C_0^{2+} Z_0^{2+} 的吸附特性
	纳米复合水凝胶的制备及其对重金属离子的吸附 ····································
贫营养和粮量抗生素对质粒抗生素抗性适应度代价的影响 ··············· 林文芳, 陈胜, 万堃, 王春明, 林惠荣, 于鑫(3224) 不同氮水平下间作对玉米土壤硝化势和氨氧化微生物数量的影响 ················ 吕玉, 周龙, 龙光强, 汤利(3229)	不同磷水平下丛枝菌根真菌对纳米氧化锌生物效应的影响 ········· 景新新,苏志忠,邢红恩,王发园,石兆勇,刘雪琴(3201)
不问氮水平下间作对玉米土壤硝化势和氨氧化微生物数量的影响 吕玉,周龙,龙光强,汤利(3229)《环境科学》征订启事(3025) 《环境科学》征稿简则(3057) 信息(3072,3085,3143)	中美水生生物基准受试物种敏感性差异研究 ····································
	不同氮水平下间作对玉米土壤硝化势和氨氧化微生物数量的影响 吕玉,周龙,龙光强,汤利(3229)《环境科学》征订启事(3025) 《环境科学》征稿简则(3057) 信息(3072,3085,3143)

嘉兴市春季一次持续雾霾过程中气象条件与污染物变 化特征分析

沈利娟^{1,2},王红磊^{3*},李莉²,吕升²,袁婧²,张孝寒²,章国骏²,王翡²

(1. 南京信息工程大学环境科学与工程学院,江苏省大气环境监测与污染控制高技术研究重点实验室,南京 210044; 2. 嘉兴市环境保护监测站,嘉兴 314000; 3. 南京信息工程大学气象灾害教育部重点实验室,气候与环境变化国际合作联合实验室,气象灾害预报预警与评估协同创新中心,中国气象局气溶胶与云降水重点开放实验室,南京 210044)

摘要: 2015 年 5 月 17~20 日嘉兴市发生了一次持续性雾霾过程,本研究根据 5 月 17~22 日污染气体(O_3 、 SO_2 、 NO_2 和 CO)、 PM_{10} 、 $PM_{2.5}$ 、10 nm~10 μ m 气溶胶数浓度、气象要素及边界层探空数据,分析了这次过程的成因及其不同污染物的变化特征. 结果表明,副高位置北拾、均压场结构、地面静小风和边界层中逆温层为这次雾霾过程的发生和维持提供了水汽、动力和热力条件. 这次雾霾过程包含 1 次降雨和 2 次雾过程(雨雾和辐射-平流雾). 雾霾过程中 NO_2 、CO、 PM_{10} 和 $PM_{2.5}$ 的浓度较高, SO_2 和 O_3 的浓度较低. 强降雨对 PM_{10} 、 $PM_{2.5}$ 和 SO_2 清除作用较大,弱降雨会加重污染过程. 雨雾的发展过程中,PM 的浓度持续积聚;辐射-平流雾过程中,PM 浓度先快速下降然后再增加. 不同过程中气溶胶数浓度谱均为单峰型分布,但是谱型差异较大,干净天、降雨、雾霾过程、雨雾和辐射-平流雾过程中气溶胶数浓度谱峰值分别位于 20~30 nm、100 nm、30~60 nm、120 nm 和 90 nm. 表面积浓度谱在干净天、降雨、雾霾和雨雾过程中均为三峰型分布,辐射-平流雾为四峰型分布.

关键词:气溶胶;雾霾;PM_{2.5};粒径分布;污染气体

中图分类号: X511 文献标识码: A 文章编号: 0250-3301(2016)08-2871-10 DOI: 10.13227/j. hjkx. 2016.08.007

Observation Analysis on the Characteristics of Meteorological Elements and Pollutants During a Continuous Fog and Haze Episode in Spring in Jiaxing City

SHEN Li-juan^{1,2}, WANG Hong-lei^{3*}, LI Li², LÜ Sheng², YUAN Jing², ZHANG Xiao-han², ZHANG Guo-jun², WANG Fei²

(1. Jiangsu Key Laboratory of Atmospheric Environment Monitoring and Pollution Control (AEMPC), School of Environmental Sciences and Engineering, Nanjing University of Information Science and Technology, Nanjing 210044, China; 2. Jiaxing Environmental Monitoring Station, Jiaxing 314000, China; 3. Key Laboratory of Meteorological Disaster, Ministry of Education (KLME), Joint International Research Laboratory of Climate and Environment Change (ILCEC), Collaborative Innovation Center on Forecast and Evaluation of Meteorological Disasters, Key Laboratory for Aerosol-Cloud-Precipitation of China Meteorological Administration, Nanjing University of Information Science & Technology, Nanjing 210044, China)

Abstract: A continuous fog and haze episode occurred on 17-20 May, 2015 in Jiaxing. Trace gases (O₃, CO, SO₂ and NO₂), PM₁₀, PM_{2.5}, aerosol number concentration in the range of 10 nm-10 μm, meteorological elements, and radiosonde data from the 17st to the 22st of May were used to analyze the formation mechanism and pollutant characteristics during this episode. The results showed that subtropical high pressure lifted northward, a field pressure was dominant over Jiaxing leading to a weak ground wind speed, and a strong inversion layer occurred, this supplied moisture, power and thermal conditions for the occurrence and maintenance of the event. The episode included one precipitation process and two fog processes (rainy fog and radiation-advection fog). During the fog and haze process, the concentrations of NO₂, CO, PM₁₀ and PM_{2.5} were high and the levels of SO₂ and O₃ were low. Strong precipitation had greater scavenge effects on PM₁₀, PM_{2.5} and SO₂, while weak precipitation aggravated the pollution degree. The PM concentrations increased continuously during the rainy fog process, while it decreased firstly and then increased during the radiation-advection fog process. The spectral distributions of aerosol number concentration were unimodal and differed significantly under different types of weather conditions. The peaks of number concentration were located at 20-30 nm, 100 nm, 30-60 nm, 120 nm, 90 nm under clean, precipitation, fog and haze, rainy fog, radiation-advection fog conditions, and had four peaks under radiation-advection fog condition. Key words: aerosol; fog and haze; PM_{2.5}; size distribution; trace gases

收稿日期: 2016-01-26; 修订日期: 2016-03-23

基金项目: 江苏省大气环境监测与污染控制高技术研究重点实验室开放基金项目(KHK1408); 嘉兴市大气细颗粒物(PM_{2.5})来源解析及控制 技术研究项目(2014AY21012); 中国科学院战略性先导科技专项(B类)(XDB05020206); 国家自然科学基金项目(41275143, 41305135); 江苏高校优势学科建设工程资助项目(PAPD)

作者简介: 沈利娟(1987~),女,硕士,主要研究方向为大气环境与大气化学,E-mail:shenlijuan_428@163.com

^{*} 通讯联系人, E-mail: hongleiwang_2009@163.com

近年来随着城市化和经济的快速发展,中国城 市地区气溶胶浓度迅速增加,导致雾霾事件频发,对 能见度和人体健康造成危害[1~3]. 长江三角洲地区 作为中国经济增长最快的地区之一,雾霾污染尤为 严重,近30年来,长江三角洲地区的雾霾日数整体 呈增长趋势^[3~5]. Gao 等^[6]研究表明 1981~2005 年 长三角地区能见度每10年降低2.4 km,远高于全 国平均水平(-2.1 km/10 a)[7]. 雾和霾都可以导 致能见度降低,却有显著差异[8~11]. 雾一般指近地 面空气中的水汽凝结成大量悬浮在空气中的微小水 滴或者冰晶,导致水平能见度低于1 km 的天气现 象,多为乳白色,相对湿度(RH)较高,多接近 100%,按照水平能见度来区分又分为雾 (<1000 m)、大雾(<500 m)、浓雾(<200 m)以 及强浓雾(<50 m)^[8,10~12]. 霾为大量极细微的气溶 胶颗粒等均匀地浮游在空中,使水平能见度小于10 km 的空气混浊现象,可使远处光亮物体微带黄、红 色, 使黑暗物体微带蓝色, 相对湿度一般小于 80% [9~11,13]. 但是当相对湿度大于80%时,很难将 二者进行明确的区分.

目前,我国已分别针对雾和霾的时空分布、生 成机制和影响因素等方面进行了大量的研究[12~24]. 李子华等[14,15]分析发现雾滴谱暴发性拓宽都是在 降温情况下发生的,湍流混合引起的热量、动量及 水汽的垂直输送对辐射雾暴发性发展具有重要作 用. 刘小宁等[17]和王丽萍等[18]分析认为我国大部 分地区大雾日数呈减少趋势,大多数雾区秋冬季雾 日最多,春夏季雾日较少. Lu 等[19]、刘端阳等[25] 和李一等[26]则对南京地区冬季浓雾的化学组成、 微物理结构以及形成原因进行了详细的分析. Yue 等[27]分析了我国南海海雾过程中雾水的化学组成. 国内对于霾天气的研究相对稍晚,吴兑等[28]研究表 明我国 20 世纪 80 年代以后霾日增加明显,而且与 经济活动密切相关. Wang 等^[20]研究了长三角地区 一次区域霾过程的形成机制及气溶胶的微物理特 征. Sun 等^[21]研究了北京夏季霾过程中 PM,5垂直 分布和边界层结构变化特征. Wang 等^[22]认为稳定 的气象条件和 PM2.5浓度的增加是造成 2013 年 1 月 中国东部地区霾过程的主要原因. Du 等[29]和江琪 等[30]发现灰霾期间二次无机离子(SO₄-、NO₅和 NH,⁺)和有机物的浓度显著增加.

以往的研究多针对雾过程或者霾过程,但是随着大气复合污染的加剧,越来越难以将雾和霾明确地区分开来.目前中国城市地区出现的低能见度事

件往往兼具了雾和霾的双重特性,相较于单纯的雾 过程或者霾过程,其形成机制更加复杂,影响范围更 广,持续时间更长,因此危害更大. 目前,已经针对 雾-霾过程开展了许多研究,如 Quan 等[31]分析了华 北平原雾霾的形成原因,Sun等[32]分析了北京雾-霾 过程中PM2.5和PM10的化学组成变化,于兴娜等[33]、 赵秀娟等[34]和颜鹏等[35]分析了北京地区雾-霾期间 气溶胶的光学特征,刘端阳等[36,37]分析了淮河下游 一次连续雾-霾过程的形成原因、转化机制以及污 染物的变化特征. 目前针对长三角沿海地区雾-霾 过程的研究还相对较少, 嘉兴位于长江三角洲杭嘉 湖平原的腹心地带,市区距离杭州湾仅32 km,是长 三角地区典型的沿海城市. 2015 年 5 月 17~20 日 长三角地区发生了一次持续性雾-霾事件,本研究根 据嘉兴市 5 月 17~22 日污染气体(O₃、SO₅、NO₅ 和 CO)、PM₁₀、PM₂₅、10 nm ~ 10 μm 气溶胶数浓 度、气象要素及杭州市边界层探空数据,分析了这 次过程发生的气象条件、不同阶段污染物的变化特 征和气溶胶粒径分布,以期为更好地理解雾-霾天气 的污染物变化特性及其形成的机制提供依据.

1 材料与方法

1.1 观测点与观测时间

观测点位为嘉兴市残疾人联合会(残联)监测站点(北纬30°45′,东经120°47′),是最早建设的3个国控点之一.站点位于嘉兴市南湖区残联大楼楼顶实验室,周围以居民区为主,监测点北侧260 m是南溪西路,东侧100 m是双溪路,西侧760 m是中环东路,南侧630 m是凌公塘路,站点周围没有明显的污染排放源.本次观测时间为2015年5月17~23日.

1.2 观测仪器

观测仪器使用美国 MSP 公司生产的宽范围颗粒粒径谱仪(WPS),测量直径在 0.01~10 μm 之间的气溶胶粒子数浓度. 仪器主要由静电分级器(DMA)、凝结核计数器(CPC)和激光颗粒物分光计(LPS)3个部分组成,前两者的测量范围为 0.01~0.5 μm,后者为 0.35~10 μm. 由于测量原理的不同,因此在其交叉测量范围内(0.35~0.5 μm)的观测值也有所差异. 观测中使用的时间分辨率为 5 min,即 5 min 内仪器扫瞄 0.01~10 μm 粒径范围并测量出气溶胶粒子的个数. 根据观测的实施情况,由于 WPS 适应的环境湿度为 0~90%、非冷凝,经数据处理后剔除了部分无效数据.

污染气体的观测采用美国热电环境设备公司的

EMS 系统(包括 42i 化学发光 NO-NO₂-NO_x 分析仪, 49i 紫外发光 O₃ 分析仪, 43i 脉冲荧光 SO₂ 分析仪和 48i 气体滤光相关法 CO 分析仪). 颗粒物采用美国热电公司生产的 5030型 SHARP 监测仪. 仪器原理介绍参见文献[38]. 监测仪器定期进行标定校准,其中 NO-NO₂-NO_x 分析仪、SO₂ 分析仪和 CO 分析仪每周进行一次校零和校标,每季度进行一次多点校准,O₃ 分析仪每半年校标一次. 颗粒物监测仪定期更换纸带,清洗外置采样头. 数据审核时剔除异常点,所有数据均符合国家环境保护局的数据质量控制标准.

1.3 气象要素和垂直探空数据

气象数据使用嘉兴市常规气象站观测数据(北纬30°73′,东经120°77′),气象参数分别为温度、相对湿度、降水、能见度、风速和风向,时间分辨率为1h. 边界层探空数据取自浙江省杭州市高空站(北纬30°23′,东经120°16′)每天2次(08:00和20:00)的探空资料.

2 结果与讨论

2.1 雾霾过程天气形势和边界层垂直结构分析

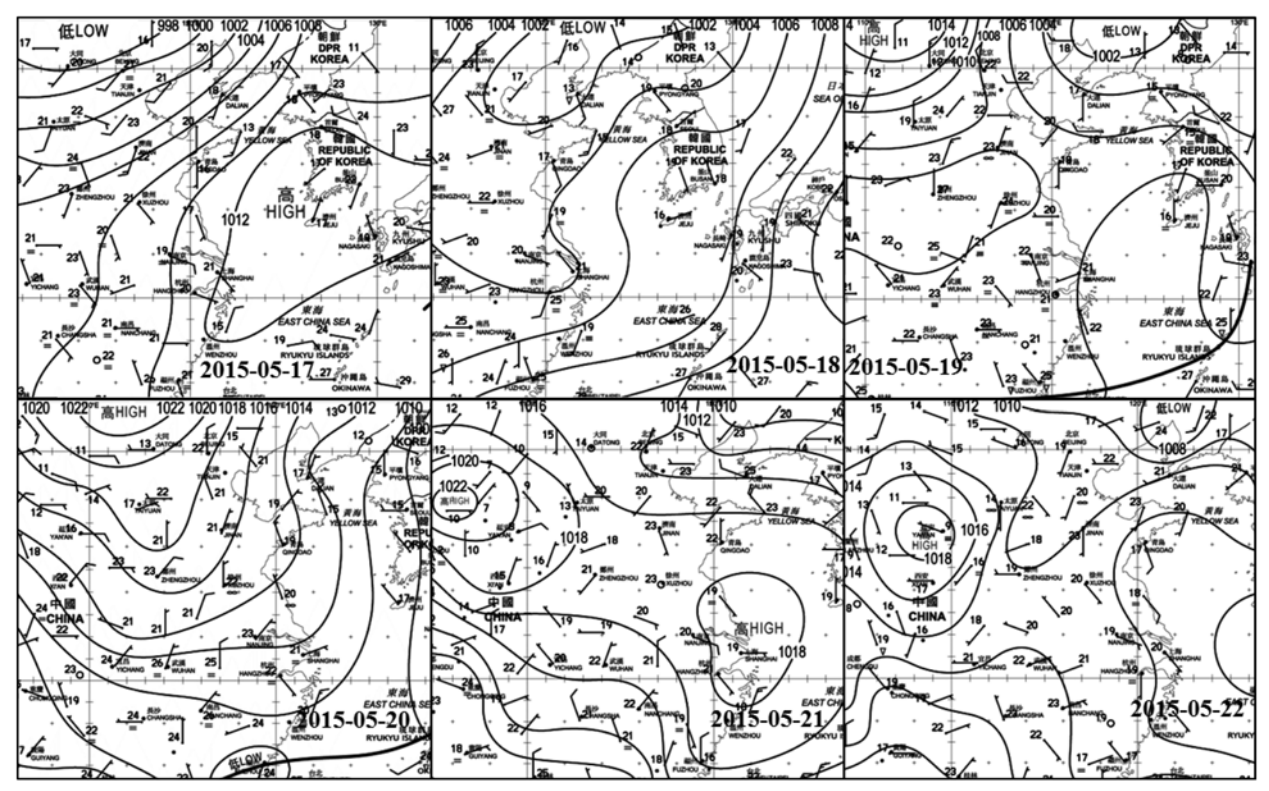
2.1.1 天气形势分析

2015年5月18~20日长三角地区发生了一次

典型的低能见度雾霾事件,嘉兴、杭州、上海和南 京等城市分别发布了大雾黄色或橙色预警,嘉兴市 最低能见度仅为130 m,此次雾霾天气的产生、演变 过程与复杂天气系统的变化密切相关. 由香港天文 台(http://gb. weather. gov. hk)公布的地面天气图 (图1)可知,2015年5月17日长三角地区地面受高 压后部控制,18 日东北冷低压南移,长三角地区为 高低压交汇区. 由 500 hPa 平均位势高度场(中央 气象台: http://www. nmc. cn)可知5月中旬副高 强度增强,位置北抬,其外围西南暖湿气流与槽后冷 空气在我国江南华南一带交汇. 受高空槽和低层切 变系统影响,5月18日长三角地区出现强降水过 程,降水结束后出现大雾天气. 由图 1 可知 5 月 19 日长三角上空有一低压槽过境,等压线稀疏,地面处 于均压场控制,为大雾的持续提供了有利的气象条 件. 5月20日东北冷高压南移,长三角位于高压前 部,低压槽的后部. 因此在20日凌晨又出现了大雾 天气. 由图 1 可知 5 月 21 日长三角位于高压中心, 5月22日长三角受副高外围控制,天气晴朗,雾霾 过程结束.

2.1.2 雾霾过程分析

根据能见度和 RH 将观测期间分为干净天(能见度 > 10 km),雾(能见度 < 1 km,RH > 90%),霾



来源: http://gb. weather. gov. hk

图 1 5月17~22日地面天气

Fig. 1 Ground weather condition during 17-20 May, 2015

(能见度 < 10 km, RH < 80%) 和雾霾过程(1 km < 能见度 < 10 km, 80% < RH < 90%) $[8^{-10,34,36,37]}$. 由图 2 可知 5 月 17 日风速较大,最大风速可达 4.7 m·s⁻¹,平均为 3.2 m·s⁻¹,有利于污染物扩散.风向

比较稳定,以偏东风为主,风来自海洋,气团比较清洁. 温度较高,最高温度可达 23.6℃;湿度较低,平均为 73.9%,不利于雾霾的形成. 因此能见度较高,均在 10.0 km 以上,平均能见度为 13.0 km.

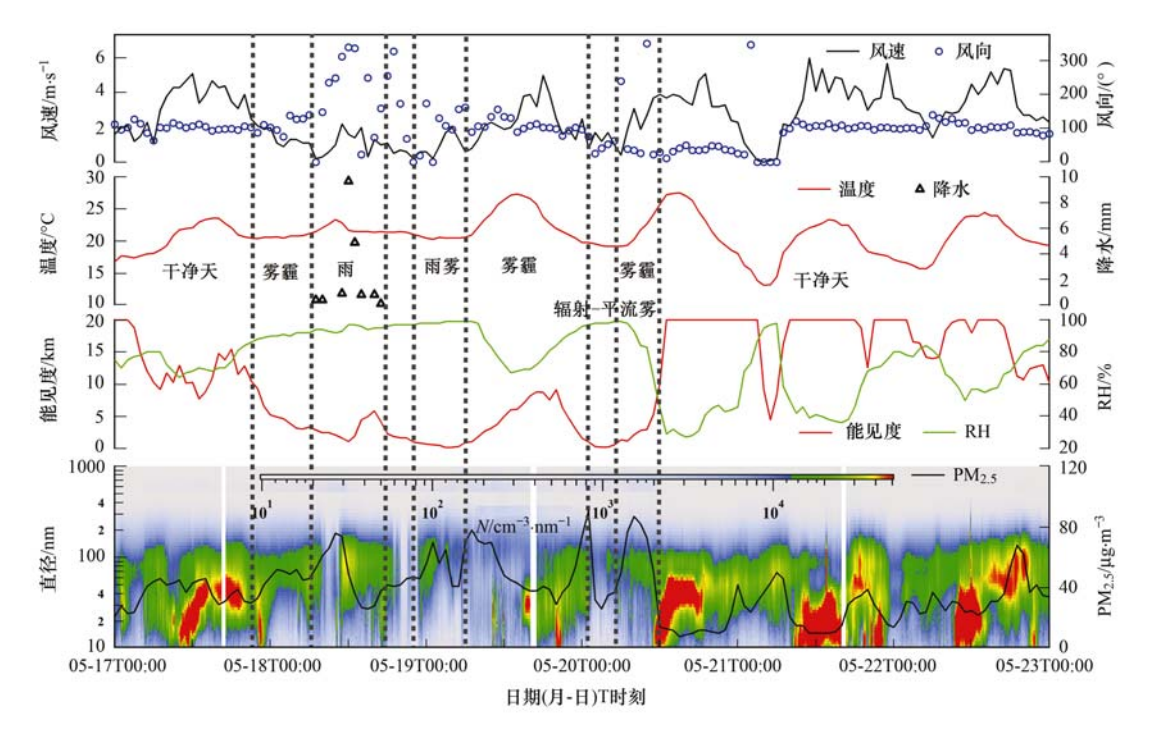


图 2 气溶胶粒径、PM_{2.5}和气象要素的时间序列变化

Fig. 2 $\,$ Time series of aerosol number concentrations, $PM_{2.5}$ and meteorological elements

5月17日21:00风速开始降低,有利于颗粒物的积聚, $PM_{2.5}$ 在5月18日01:00达到52.0 $\mu g \cdot m^{-3}$,是5月17日21:00的1.7倍.同时湿度增加,5月18日00:00达到90%,此后一直维持在90%以上.此外,期间温度略有下降.高湿低温的环境,有利于雾霾天气的形成和维持.因此,能见度迅速下降,3h内下降了5.4km,雾霾过程开始.18日04:00能见度降至3.1km,此后能见度一直维持3.0km左右.

5月18日07:00 开始降雨,但是直到11:00,降雨量都在1 mm 以下,期间 $PM_{2.5}$ 的浓度持续增大,能见度降低,11:00 能见度为 1.6 km. 12:00~13:00雨量变大,12:00 雨量高达9.7 mm, $PM_{2.5}$ 浓度在1h内下降了25.0 $\mu g \cdot m^{-3}$. 但是能见度仅为1.1 km,主要是因为强降雨过程中雨滴造成能见度降低. 14:00 开始降雨逐渐减弱,到17:00 降雨基本结束,随着降雨减弱,能见度开始好转. 18:00 降雨结束后 RH 较高,均在95%以上, $PM_{2.5}$ 的浓度开始增加,雾霾过程再次发生,能见度持续降低. 22:00 能见度降为980 m,雾霾过程转化为雾过程. 5月19

日 03:00 能见度达到最低值 130 m,标志此次雾过程已经发展成熟. 此后能见度开始逐渐好转,07:00 能见度达到1 020 m,雾过程开始消散.

此后随着太阳辐射的加强,温度开始升高,RH 开始快速降低,PM,,也开始降低,能见度逐步好转. 5月19日20:00能见度达到最大值9.2 km 后又开 始快速下降, RH 和 PM, 5 也快速升高, 5 月 20 日 01:00能见度再次降到1km以下,雾过程再次出现. 5月20日03:00能见度降至171 m,此次雾过程发 展成熟;之后能见度开始好转,06:00 能见度达到 1.3 km,此次雾过程开始消散. 此后由于太阳辐射 的作用,边界层内湍流活动加强,风速变大,RH降 低. 5月20日11:00风速为3.7 m·s⁻¹,温度为 24.2℃, RH 降为 64%, 能见度为 5.3 km; 12:00 风 速为3.9 m·s⁻¹,温度为25.8℃,RH为45%,能见度 为 10.2 km,雾霾过程结束. 此后风速多维持在 3.0 m·s⁻¹以上,能见度较高,雾霾过程彻底结束.此外, 由图 2 可发现 5 月 21 日 04:00~06:00 出现了能见 度突变的现象,期间风速较小,风向由北风转变为偏 东风,RH 较高,这主要是由于长三角上空天气系统

转换造成.

由上文分析可知,5 月 17 日 22:00~5 月 20 日 11:00 嘉兴市出现了一次持续性雾霾过程,该过程中包含了 1 次降水过程和 2 次雾过程. 两次雾过程中均可观测到明显的生成、发展、成熟和减弱的过程. 但是两次雾过程的形成原因不同,5 月 18 日 22:00~5 月 19 日 06:00 是一次典型的雨雾过程,5 月 20 日 01:00~05:00 是一次典型的辐射-平流雾过程.

2.1.3 边界层垂直结构分析

由图 3 可发现 5 月 17 日 08:00 在近地面 100~800 m 存在一弱逆温层,近地层的风速较小,逆温层内风速较大,以偏南风为主. 3.0 km 高度内 RH 和比湿较高,RH 随高度的变化与温度相反,比湿随高度的变化较小. 5 月 17 日 20:00 和 18 日 08:00 近地层 1.0 km 内温度差异较小,边界层内风速较大,且以西北风为主,5.0 km 内比湿随高度的变化较小,近地层 RH 较高,不利于污染物扩散.

5月18日20:00随着降水过程结束,天气放晴,此时1.0~1.5km高度出现逆温层,3.0km内RH和比湿的垂直分布变化较小,空气湿度较大.此外,近地面的风速垂直变化较小,因此湍流活动较弱,有利于地面雾霾过程的形成.5月19日08:00温度随高度递减,RH随高度先缓慢增加然后快速降低,说明雾层随着湍流过程的加强开始消散抬升.

由图 3 可发现 5 月 19 日 20:00 在 1.0~1.5 km

有一个微弱的逆温层结,3.0 km 以内温度在 4.4℃以上.150 m 以下 RH 随高度升高而降低,但是在 150~800 m RH 随高度迅速升高,800~3 000 m 高度 RH 变化较小,均在 92%以上.长三角上空低压槽过境,带来大量水汽,夜间地面辐射冷却使得近地层水汽达到饱和,有利于雾霾过程的形成.5月20日08:00和20:00探空曲线比较类似,在800~1500m高度存在一弱的逆温层,RH和比湿在3.0km以下均维持在较高的浓度,风速较小,以偏西北风为主,雾霾过程开始消散.由图 2中5月21日08:00~5月22日20:00的RH和比湿垂直结构可发现,边界层内水汽含量迅速减少,边界层内逆温层结较弱,雾霾过程彻底结束.

2.2 雾霾过程中污染气体和 PM 的变化特征

由图 4 可发现在观测期间 SO_2 的浓度较低,尤其是在雾霾过程中,由表 1 可知在两次雾过程中 SO_2 的浓度分别为 7. 8 $\mu g \cdot m^{-3}$ 和 $10.2~\mu g \cdot m^{-3}$, SO_2 易溶于水,在雾过程中空气中水汽较多,因此雾过程 对 SO_2 的清除作用较大.雾霾过程中 NO_2 和 CO 的浓度较高,是因为雾霾过程天气形势比较稳定,有利于污染物积聚.雾霾天 O_3 的浓度较低,是因为雾霾天太阳辐射较低,光化学反应较弱造成.雾霾过程中 PM 的浓度相对较高,由表 1 可知在雾霾过程中 PM 的浓度多在 $70.0~\mu g \cdot m^{-3}$ 以上,是干净天的 1.2~1.8~6; $PM_{2.5}$ 的浓度多在 $44.0~\mu g \cdot m^{-3}$ 以上,是干净天的 1.2~2.1~6.

表 1 不同过程中污染气体和 PM 平均值

Table 1	Mean concentration of	f trace gases a	and PM under	different types of	of weather conditions
---------	-----------------------	-----------------	--------------	--------------------	-----------------------

项目	$SO_2/\mu g \cdot m^{-3}$	$NO_2/\mu g \cdot m^{-3}$	CO/mg·m ⁻³	$O_3/\mu g \cdot m^{-3}$	$PM_{10}/\mu g \cdot m^{-3}$	$PM_{2.5}/\mu g \cdot m^{-3}$
雨前干净	14. 3	34. 6	0. 5	124. 0	60. 0	36. 0
雾霾	13. 1	38. 6	0.8	69. 2	66. 5	45. 3
雨	18.5	73. 7	1. 2	15. 9	73. 8	48. 5
雨雾	7.8	77. 9	1.4	2. 9	83. 8	54. 7
辐射-平流雾	10. 2	32. 2	0.8	42. 8	74. 8	44. 2
雨后干净	12. 4	34. 5	0. 5	121. 2	47. 5	25. 9

由图 4 可发现降雨量较小时,污染物的浓度并没有降低,反而呈现增加趋势. 当 5 月 18 日 12:00 降雨量达到 9.7 mm 时, PM_{10} 、 $PM_{2.5}$ 和 SO_2 的浓度迅速降低,分别为 78.0、49.0 和 17.0 μ g·m⁻³,1 h内减少了 31.0、25.0 和 10.0 μ g·m⁻³,但是 NO_2 和 CO 的浓度变化不大.

由图 4 可发现两次雾过程中污染物的变化不同. 随着雾过程的发展,雨雾中颗粒物浓度持续积聚,但是辐射-平流雾中颗粒物浓度先快速下降之后

再增加. 由图 2 和图 4 可发现 PM₁₀和 PM_{2.5}在雨雾发展过程中显著增加,在成熟阶段达到最大值,此后随着雾的消散浓度开始降低. 但在辐射-平流雾过程中,PM 的变化正好相反,在开始发展阶段浓度急剧降低,在雾发展到最旺盛时达到最低值,此后随着雾的减弱浓度开始增加. 气体的变化较为复杂,由表1可知雨雾过程中 NO₂ 和 CO 的浓度较大,分别是辐射-平流雾的 2. 4 和 1. 8 倍. 但是雨雾的 SO₂ 和 O₃ 的浓度较低,主要是因为雨雾过程发生在雨后,

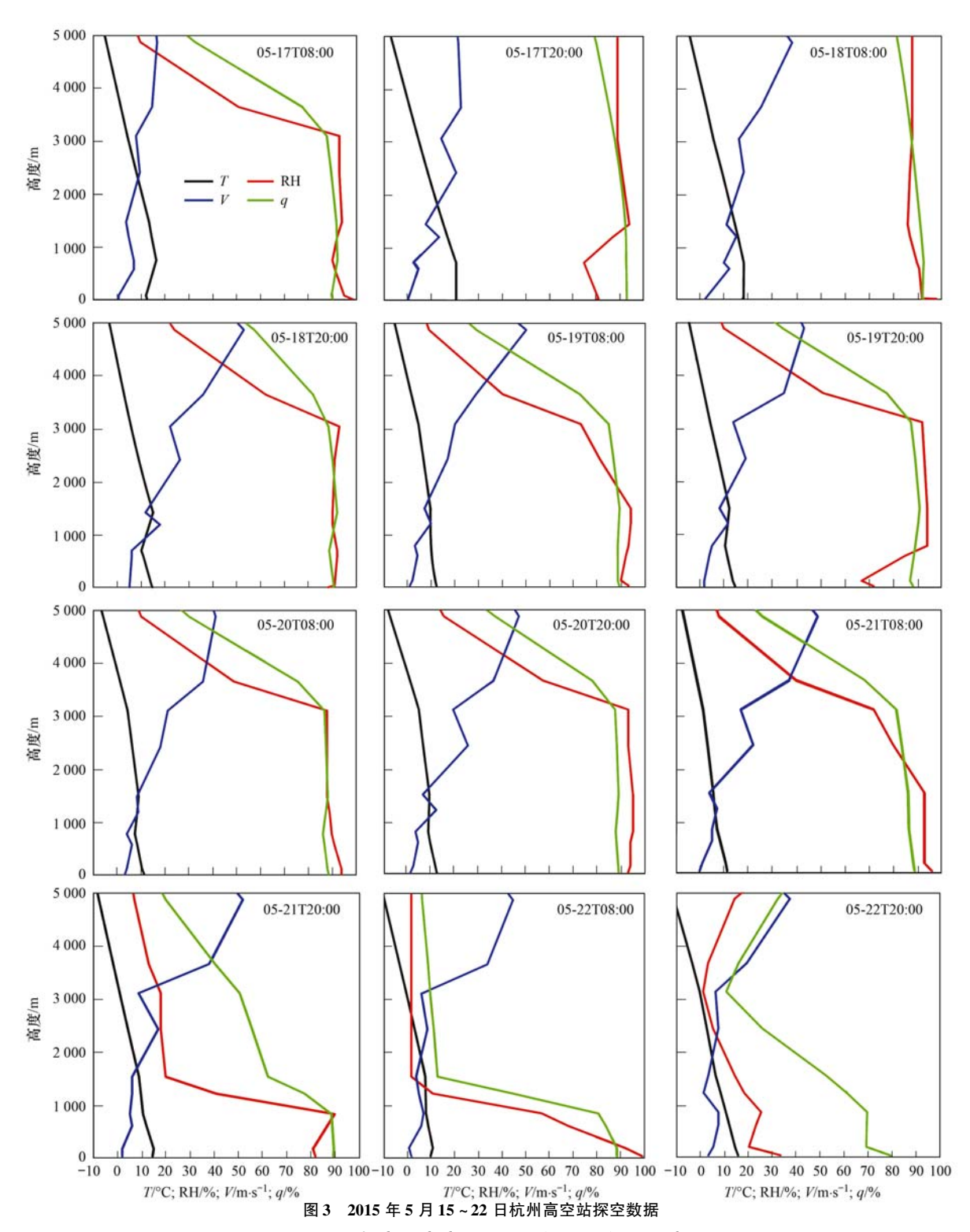


Fig. 3 Description of radiosonde data on May 15-22, 2015 at Hangzhou station

降雨对 SO₂ 和 O₃ 的清除作用造成.

由图 4 可发现 NO_2 和 CO 的相关性较高,相关系数可达 0.79,主要是因为两者均主要来自汽车尾气的排放. SO_2 与其他污染物的相关性较差, SO_2 主要来自工业燃煤排放 [39],高湿度下容易从大气中清除. O_3 与其他污染物呈负相关关系. PM 与 NO_2 、

CO 呈较高的正相关关系,说明观测期间 PM 多来自汽车尾气的排放.由表 2 可知能见度与 O₃ 呈较好的正相关,能见度较高时,太阳辐射较强,光化学反应剧烈.能见度与 SO₂ 的相关性较差,与其他污染物呈较好的负相关,说明观测期间能见度主要受到汽车尾气排放的影响.

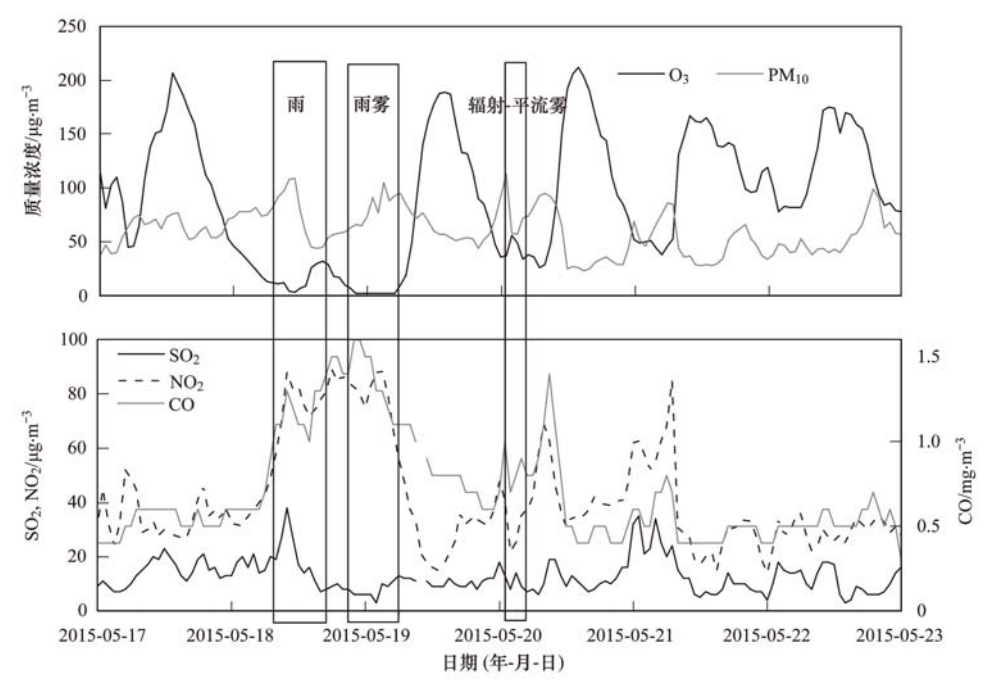


图 4 观测期间污染气体和 PM₁₀ 时间变化

Fig. 4 Time series of trace gases and PM during the observation period

表 2 观测期间不同污染物之间的相关系数1)

Table 2 Correlation coefficients between different trace gases during the observation period

	SO_2	NO_2	CO	O_3	PM_{10}	$PM_{2.5}$	能见度
SO_2	1	0. 25 * *	0.04	-0.21 *	0. 31 * *	0. 21 *	-0.07
NO_2		1	0. 79 * *	-0. 74 * *	0. 46 * *	0. 40 * *	-0.51 * *
CO			1	-0.63 * *	0. 53 * *	0. 58 * *	-0.75 * *
O_3				1	-0.58 * *	-0.51 * *	0. 64 * *
PM_{10}					1	0. 92 * *	-0.73 * *
PM _{2.5}						1	-0.75 * *
能见度							1

1) * 表示 0.05 水平下显著相关, * * 表示 0.01 水平下显著相关

2.3 雾霾过程中气溶胶粒径分布特征

由图 2 可知观测期间不同阶段中气溶胶粒径分布差异较大,在干净天气溶胶主要集中在 100 nm 以下,尤其是 50 nm 以下气溶胶数浓度较高. 在雾霾天和降雨过程中气溶胶粒子主要集中在 50~200 nm 粒径段. 为了更好地分析雾霾过程中气溶胶数浓度变化特征,本研究将观测到的 10 nm~10 μm 粒径段气溶胶分为 7 个粒径段进行讨论: 10~20 nm (核模态),20~50 nm 和 50~100 nm (爱根核模态),100~200 nm、200~500 nm 和 0.5~1.0 μm (积聚模态),1.0~10 μm (粗模态).

由图 5 可发现 10~20 nm 气溶胶数浓度在干净 天中较高,在降水和雾霾过程中浓度较低,核模态粒 子主要来自气-粒转化过程^[40,41],晴天太阳辐射较 强,有利于气溶胶新粒子的形成^[42,43],因此在晴天 的浓度较高.由图 5 可发现不同强度的降水过程对 气溶胶数浓度的影响不同,降水初期降雨量为 0.4 mm,10~500 nm 气溶胶数浓度明显降低,但是 0.5~10 μm 气溶胶浓度却呈现增加趋势. 康汉青等[44]研究表明雨强较小时,降水对气溶胶的清除作用较小. 小雨期间大气中 RH 较高(>90%),因此气溶胶粒子容易吸湿增长为大粒子,进而造成大气中 0.5~10 μm 气溶胶粒子的增多. 此外,大粒子浓度增多后通过碰并过程对小粒子的清除作用也变大,这也是气溶胶小粒子浓度变低的原因之一. 5月 18日 12:00 降水量高达 9.7 mm,由图 5发现 0.5~10 μm 浓度迅速降低,此时 100~500 nm 的浓度迅速增加达到高值后又迅速降低. 在强降水初期由于粗粒子浓度迅速降低,对细粒子的碰并清除作用减弱,因此细粒子浓度迅速增加. 但是随着强降水过程的清除作用,气溶胶细粒子浓度又迅速减小.

由图 5 可发现在雨雾的发生过程中,10~500 nm

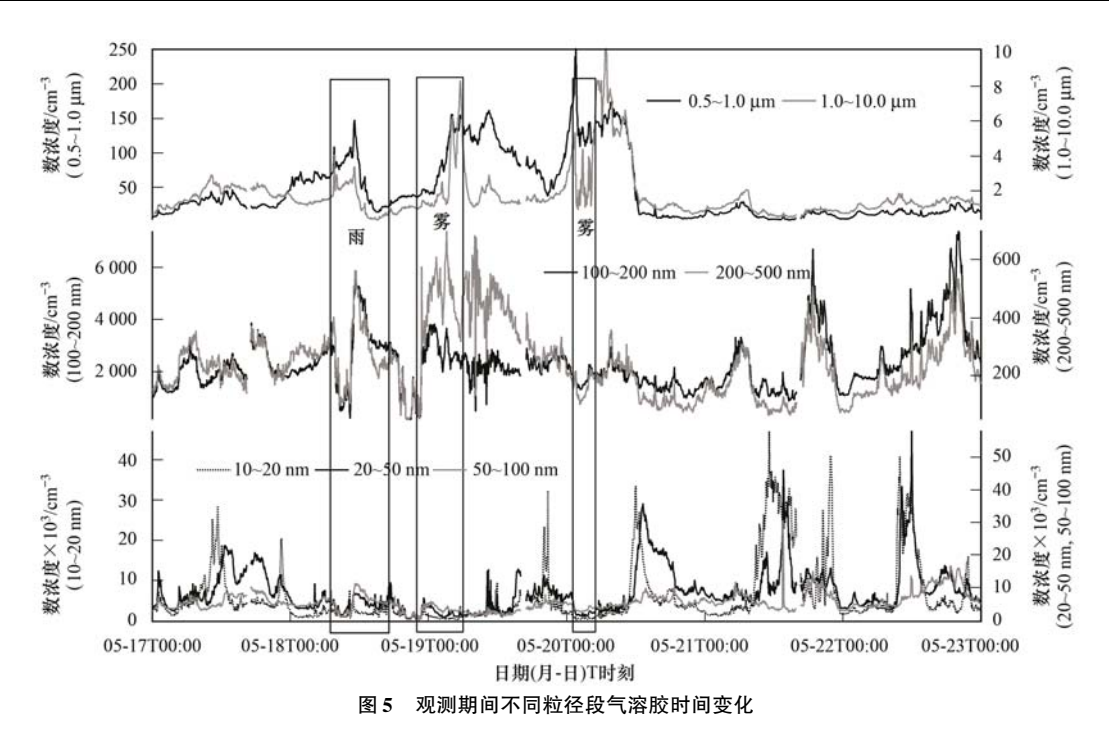


Fig. 5 Time series of number concentration for aerosols in different size ranges during the observation period

气溶胶浓度迅速增加,在30 min 内其浓度增加了6~ 10 倍左右,但是 0.5~10.0 μm 数浓度并没有显著变 化. 随着雾过程的发展,0.5~1.0 µm 气溶胶数浓度 开始迅速增加,1 h 内其浓度增加了2.5 倍,此时10~ 200 nm 气溶胶浓度开始降低,但是 200~500 nm 和 1.0~10 μm 气溶胶粒子浓度变化较小. 03:20 开始 1.0~10 μm 数浓度开始暴发式增加,20 min 内增加 了5倍,10~200 nm 粒子浓度继续降低,此时雾过程 发展到成熟阶段,能见度达到最低值. 此后 0.5~10 μm 气溶胶维持在高浓度,200~500 nm 气溶胶浓度 迅速降低,雾过程开始消散. 此后随着温度升高,1.0 ~10.0 µm 粒子浓度迅速下降,在1h内降低了6倍, 雾过程结束.但是 200 nm ~ 1. 0 μm 气溶胶浓度一直 维持在较高浓度,在12:00之后它们的浓度开始降 低,能见度得到快速好转但仍维持在 10 km 以下,雾 过程转变为雾霾混合过程.

随着太阳辐射消失,RH 开始变大,0.5~10.0 μm 气溶胶从 5 月 19 日 20:00 开始增加,10~500 nm 气溶胶浓度迅速降低,能见度开始降低. 此次雾过程中气溶胶的变化与前一次过程明显不同:在雾发生阶段粗粒子迅速增加,一旦雾过程形成,粗粒子浓度迅速降低,之后 0.5~1.0 μm 粒子维持在一个比较稳定的浓度. 100~500 nm 气溶胶浓度在雾的发生到成熟阶段减少,在消散阶段开始增加. 在日出后,随着太阳辐射的加强,0.5~10 μm 气溶胶浓度迅速好

转,1 h 内增加了5.0 km.

由图 6 可发现不同过程中气溶胶数浓度谱均为 单峰型分布,但是谱型差异较大. 干净天气溶胶数 浓度谱峰值位于 20~30 nm. 降雨过程中数浓度谱 峰值向大粒径段偏移位于 100 nm 左右,此外,降雨 过程中<100 nm 和>1 μm 粒径段的数浓度较低, 100 nm~1 μm 粒径段的数浓度较高,说明降雨过程 对不同粒径段气溶胶粒子的清除作用不同. 雾霾过 程中气溶胶谱峰宽最大,20~100 nm 气溶胶数浓度 均较高,峰值位于 30~60 nm. 辐射-平流雾气溶胶 数浓度谱峰值位于 90 nm,雨雾气溶胶数浓度谱峰 值位于 120 nm,此外辐射-平流雾过程中,>4 μm 气 溶胶浓度较高,而雨雾过程中的粗粒子浓度较低. 具体原因已在上文中分析,在此不再赘述.

表面积浓度是反映气溶胶光学特性的重要特征之一. 由图 6 可发现干净天、降雨、雾霾和雨雾过程的表面积浓度谱均为三峰型分布. 干净天峰值分别位于 120 nm、520 nm 和1.3 μm,表面积浓度主要集中在第一个峰值,可占总表面积的 92.3%. 降雨过程峰值分别位于 130 nm、570 nm 和1.3 μm,雨雾过程表面积浓度谱与降雨过程类似,唯一不同的是第一峰值位于 160 nm、雾霾过程的峰值位于 150 nm、570 nm 和1.3 μm,其第二个峰值略大于第一个峰值. 辐射-平流雾的表面积浓度谱为四峰型分布,峰值分别位于 120 nm、750 nm、1.3 μm 和 10 μm,其中第二个峰值最大,是雨雾的 1.7 倍.

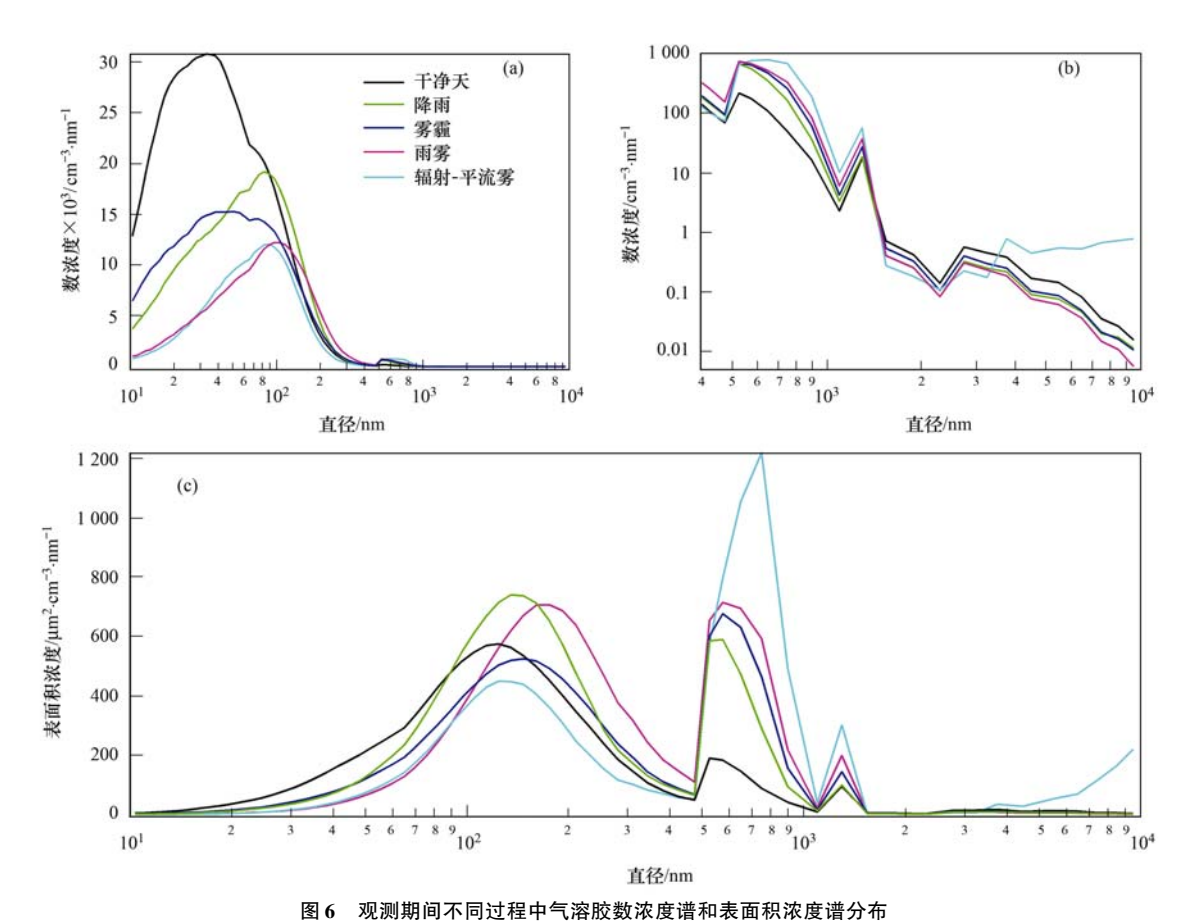


Fig. 6 Spectral distributions of aerosol number concentration and surface area concentration under different types of weather conditions during the observation period

3 结论

- (1)2015年5月17~20日嘉兴地区出现了一次持续性雾霾过程,这次过程包含1次降水过程和2次雾过程. 副热带高压强度增强,位置北抬,为这次雾霾过程提供了水汽条件. 长三角地区上空均压场结构、地面静小风和边界层中逆温层为雾霾过程的维持提供了动力和热力条件. 两次浓雾过程的发生原因不同,第一次为雨雾,是由于降水过程与适度降温的先后发生导致. 第二次为辐射-平流雾,由于长三角上空低压槽过境,带来大量水汽,以及夜间地面辐射冷却使得近地层水汽达到饱和造成.
- (2)不同污染物在不同过程中变化特征不同,雾霾过程中 NO_2 、CO、 PM_{10} 和 $PM_{2.5}$ 的浓度较高, SO_2 和 O_3 的浓度较低. 不同强度的降水对污染物的影响不同,强降雨对 PM_{10} 、 $PM_{2.5}$ 和 SO_2 清除作用较大,对 NO_2 和 CO 的清除作用较小,弱降雨反而会加重污染过程. 雨雾的发展过程中,PM 浓度持续积聚;辐射-平流雾过程中,PM 浓度先快速下降然后再增加.
 - (3)不同粒径段气溶胶数浓度在不同过程中的

变化不同. 降雨过程对不同粒径段气溶胶粒子清除作用不同,<100 nm 和>1 μm 粒径段数浓度较低,100 nm~1 μm 数浓度较高. 0.5~10.0 μm 气溶胶在雨雾过程中浓度一直增加;但在辐射-平流雾中先迅速增加,一旦雾过程形成,其浓度迅速降低.100~500 nm 气溶胶数浓度在雨雾中先增加后减少;但在辐射雾的发展阶段减少,在消散阶段增加.

(4)不同过程中气溶胶数浓度谱均为单峰型分布,但是谱型差异较大,干净天、降雨、雾霾、雨雾和辐射-平流雾过程中气溶胶数浓度谱峰值分别位于 20~30 nm、100 nm、30~60 nm、120 nm 和 90 nm. 表面积浓度谱在干净天、降雨、雾霾和雨雾过程中均为三峰型分布,辐射-平流雾为四峰型分布.参考文献:

- [1] Wu D, Bi X Y, Deng X J, et al. Effect of atmospheric haze on the deterioration of visibility over the Pearl River Delta[J]. Acta Meteorologica Sinica, 2007, 21(2): 215-223.
- [2] Tie X X, Wu D, Brasseur G. Lung cancer mortality and exposure to atmospheric aerosol particles in Guangzhou, China [J]. Atmospheric Environment, 2009, 43(14): 2375-2377.
- [3] 刘晓慧, 朱彬, 王红磊, 等. 长江三角洲地区 1980~2009 年 灰霾分布特征及影响因子[J]. 中国环境科学, 2013, 33

- (11): 1929-1936.
- [4] 孙彧, 马振峰, 牛涛, 等. 最近40年中国雾日数和霾日数的气候变化特征[J]. 气候与环境研究, 2013, **18**(3): 397-406.
- [5] 符传博, 丹利. 重污染下我国中东部地区 1960~2010 年霾日数的时空变化特征[J]. 气候与环境研究, 2014, **19**(2): 219-226.
- [6] Gao L N, Jia G S, Zhang R J, et al. Visual range trends in the Yangtze River Delta Region of China, 1981-2005 [J]. Journal of the Air & Waste Management Association, 2011, 61(8): 843-849
- [7] Che H Z, Zhang X Y, Li Y, et al. Horizontal visibility trends in China 1981-2005 [J]. Geophysical Research Letters, 2007, 34 (24): 124706.
- [8] 中国气象局. 地面气象观测规范[M]. 北京: 气象出版社, 2003.
- [9] OX/T 113-2010, 霾的观测和预报等级[S].
- [10] 吴兑. 关于霾与雾的区别和灰霾天气预警的讨论[J]. 气象, 2005, **31**(4): 3-7.
- [11] 吴兑. 再论都市霾与雾的区别[J]. 气象, 2006, **32**(4): 9-15.
- [12] Niu S J, Lu C S, Yu H Y, et al. Fog research in China; an overview [J]. Advances in Atmospheric Sciences, 2010, 27 (3): 639-662.
- [13] 吴兑. 近十年中国灰霾天气研究综述[J]. 环境科学学报, 2012, **32**(2): 257-269.
- [14] 李子华, 黄建平, 孙博阳, 等. 辐射雾发展的爆发性特征 [J]. 大气科学, 1999, **23**(5): 623-631.
- [15] 李子华, 刘端阳, 杨军. 辐射雾雾滴谱拓宽的微物理过程和 宏观条件[J]. 大气科学, 2011, **35**(1); 41-54.
- [16] 李子华. 中国近 40 年来雾的研究[J]. 气象学报, 2001, **59** (5): 616-624.
- [17] 刘小宁,张洪政,李庆祥,等. 我国大雾的气候特征及变化 初步解释[J]. 应用气象学报,2005,16(2):220-230.
- [18] 王丽萍, 陈少勇, 董安祥. 中国雾区的分布及其季节变化 [J]. 地理学报, 2005, **60**(4): 689-697.
- [19] Lu C S, Niu S J, Tang L L, et al. Chemical composition of fog water in Nanjing area of China and its related fog microphysics [J]. Atmospheric Research, 2010, 97(1-2): 47-69.
- [20] Wang H L, An J L, Shen L J, et al. Mechanism for the formation and microphysical characteristics of submicron aerosol during heavy haze pollution episode in the Yangtze River Delta, China[J]. Science of the Total Environment, 2014, 490: 501-508.
- [21] Sun Y, Song T, Tang G Q, et al. The vertical distribution of PM_{2.5} and boundary-layer structure during summer haze in Beijing[J]. Atmospheric Environment, 2013, 74: 413-421.
- [22] Wang Y S, Yao L, Wang L L, et al. Mechanism for the formation of the January 2013 heavy haze pollution episode over central and eastern China [J]. Science China Earth Sciences, 2014, 57(1): 14-25.
- [23] Wang T J, Jiang F, Deng J J, et al. Urban air quality and regional haze weather forecast for Yangtze River Delta region [J]. Atmospheric Environment, 2012, 58: 70-83.
- [24] 吴蒙, 范绍佳, 吴兑, 等. 广州地区灰霾与清洁天气变化特征及影响因素分析[J]. 中国环境科学, 2012, **32**(8): 1409-
- [25] 刘端阳, 濮梅娟, 杨军, 等. 2006年12月南京连续4天浓雾

- 的微物理结构及演变特征[J]. 气象学报, 2009, **67**(1): 147-157.
- [26] 李一,张国正,濮梅娟,等. 2006 年南京冬季浓雾雾水的化学组分[J]. 中国环境科学, 2008, **28**(5): 395-400.
- [27] Yue Y Y, Niu S J, Zhao L J, et al. Chemical composition of sea fog water along the South China Sea [J]. Pure and Applied Geophysics, 2012, 169(12); 2231-2249.
- [28] 吴兑, 吴晓京, 李菲, 等. 1951—2005 年中国大陆霾的时空变化[J]. 气象学报, 2010, **68**(5); 680-688.
- [29] Du H H, Kong L D, Cheng T T, et al. Insights into summertime haze pollution events over Shanghai based on online water-soluble ionic composition of aerosols [J]. Atmospheric Environment, 2011, 45(29): 5131-5137.
- [30] 江琪, 孙业乐, 王自发, 等. 应用颗粒物化学组分监测仪 (ACSM)实时在线测定致霾细粒子无机和有机组分[J]. 科学通报, 2013, **58**(36): 3818-3828.
- [31] Quan J, Zhang Q, He H, et al. Analysis of the formation of fog and haze in North China Plain (NCP) [J]. Atmospheric Chemistry and Physics, 2011, 11(15): 8205-8214.
- [32] Sun Y L, Zhuang G S, Tang A H, et al. Chemical characteristics of PM_{2.5} and PM₁₀ in haze-fog episodes in Beijing [J]. Environmental Science & Technology, 2006, 40 (10): 3148-3155.
- [33] 于兴娜,李新妹,登增然登,等. 北京雾霾天气期间气溶胶 光学特性[J]. 环境科学,2012,33(4):1057-1062.
- [34] 赵秀娟, 蒲维维, 孟伟, 等. 北京地区秋季雾霾天 PM_{2.5}污染与气溶胶光学特征分析[J]. 环境科学, 2013, **34**(2): 416-423.
- [35] 颜鹏, 刘桂清, 周秀骥, 等. 上甸子秋冬季雾霾期间气溶胶 光学特性[J]. 应用气象学报, 2010, **21**(3): 257-265.
- [36] 刘端阳, 濮梅娟, 严文莲, 等. 淮河下游连续雾-霾及转换成 因分析[J]. 中国环境科学, 2014, **34**(7): 1673-1683.
- [37] 刘端阳,张靖,吴序鹏,等.淮安一次雾霾过程的污染物变化特征及来源分析[J].大气科学学报,2014,37(4):484-492.
- [38] 沈利娟, 李莉, 吕升, 等. 2013 年夏季嘉兴市一次光化学事件的观测分析[J]. 环境科学, 2014, **35**(5): 1662-1670.
- [39] 安俊琳,王跃思,李昕,等. 北京大气中 SO_2 , NO_x , CO 和 O_3 体积分数变化分析[J]. 生态环境, 2007, 16(6): 1585-1589.
- [40] Kulmala M, Kontkanen J, Junninen H, et al. Direct observations of atmospheric aerosol nucleation [J]. Science, 2013, 339 (6122): 943-946.
- [41] Wang H L, Zhu B, Shen L J, et al. Number size distribution of aerosols at Mt. Huang and Nanjing in the Yangtze River Delta, China: effects of air masses and characteristics of new particle formation [J]. Atmospheric Research, 2014, 150: 42-56.
- [42] Yue D L, Hu M, Zhang R Y, et al. The roles of sulfuric acid in new particle formation and growth in the mega-city of Beijing[J]. Atmospheric Chemistry and Physics, 2010, 10 (10): 4953-4960.
- [43] Birmili W, Wiedensohler A. New particle formation in the continental boundary layer: meteorological and gas phase parameter influence [J]. Geophysical Research Letters, 2000, 27(20): 3325-3328.
- [44] 康汉青,朱彬,樊曙先. 南京北郊冬季大气气溶胶及其湿清除特征研究[J]. 气候与环境研究,2009,14(5):523-530.

HUANJING KEXUE

Environmental Science (monthly)

Vol. 37 No. 8 Aug. 15, 2016

CONTENTS

Spatiotemporal Distribution and Source Attribution of SOA in China	CHEN Zhou LILL Long TAO Weight (2015)
Spanotemporal Distribution and Source Attribution of SOA in China Emission Inventory of Heavy Metals in Fine Particles Emitted from Residential Coal Burning in China	
Diurnal Variation of PM _{2.5} Mass Concentration in Beijing and Influence of Meteorological Factors Based on Long Term Date	
Characteristics of Ozone Background Concentration in Beijing from 2004 to 2015	
Online Sources about Atmospheric Fine Particles During the 70th Anniversary of Victory Parade in Shijiazhuang	
Pollution Characteristics of Inorganic Water-soluble Ions in Atmospheric Particulate Matter in Chengdu Plain	
Observation Analysis on the Characteristics of Meteorological Elements and Pollutants During a Continuous Fog and Haze Episode in S	
Observation Analysis on the Characteristics of increotological Elements and Foliating a Committons Fog and Traze Episode in	
Characteristics and Source Apportionment of Metals in the Dustfall of Quanzhou City	
Level and the Courses of Heavy Metals and Its Risk Assessment in Indoor Dust of City: Take Guiyang as a Case	
Chemical Characteristics and Source of Acid Precipitation in Guilin	
Assessment of Gaseous Nitrogen (NH ₃ and N ₂ O) Mitigation After the Application of a Range of New Nitrogen Fertilizers in Summer	
Assessment of Gascous Patrogen (1413 and 1420) mingation Ariet the Application of a Range of New Patrogen Fertilizes in Junimer	
Soil CO ₂ , CH ₄ and N ₂ O Fluxes from Alpine Meadows on the Plateau of Southern Qinghai Province During Snow Cover Period and Gro	
Partial Pressure of Carbon Dioxide and Methane from Autumn to Winter in Xiangxi Bay of the Three Gorges Reservoir	
Potential Impacts of Climate Change on Phosphorus and DO in Yuqiao Reservoir	
Land Use Structure Change and Its Control Effect of Nitrogen Output in a Small Watershed of Three Gorges Reservoir Area; A Case S	Study of Lanlingxi Watershed
Response of Inflow Water Quality to Land Use Pattern in Northern Watershed of Lake Erhai	
•	
Effect of Nutrient Cycles in Tributaries on the Transport of Nutrient in the Three Gorge Reservoirs: A Case Study of Caotang River ···	
Transient Storage Characteristics of Artificial Pool Geomorphic Structure in an Agricultural Headwater Stream	
Distribution Characteristics of Solute Nitrogen in the Water-Sediment of Farmland Drainage Ditch	
Characteristics and Influencing Factors of Soil Microbial Biomass Carbon and Nitrogen in Drawdown Area in the Three Gorges Reserved	oir
Response Behaviors of Heavy Metals at Tidal Currents Interface and Salinity Interface in the Estuary Area	
Simulation of Multimedia Transfer and Fate of Perfluorooctane Sulfonate (PFOS) in Shenzhen Region	
Distribution Characteristics and Ecological Risk Assessment of Organochlorine Pesticides in Surface Sediments of Zhelin Bay in Guang	gdong Province, China ·····
Spatial Distribution Characteristics and Source Analysis of Dissolved Organic Matter in Beiyun River	
Distribution and Environmental Significances of Radionuclides in the Sediment of the Changyi Coastal Wetland	
Fecal Contamination in Laolongdong Underground River as Measured by the Sterol Biomarkers	LIAO Yu, SUN Yu-chuan, WANG Zun-bo, et al. (3034)
Distribution Characteristics and Pollution Status of Phthalate Esters in the Groundwater of Hutuo River Pluvial Fan	
Impacts of Land Use on the Source of Dissolved Fatty Acids in Epikarst Spring During Rainy Season	
Mechanisms of Phosphorus Removal by Modified Zeolites Substrates Coated with Zn-LDHs in Laboratory-scale Vertical-flow Constructory	ted Wetlands ·····
	· ZHANG Xiang-ling, HUANG Hua-ling, GUO Lu, et al. (3058)
Synergistic Enhancement on Oxidation of Phenol by Fenton Processes by Adding Ce ^{3 +} and Cu ^{2 +} Ions	
Removal of Humic Acid from Water Using Pt/biochar Electrode Reactor	
Generation of Graphene-titanium Dioxide Nanotubes Catalytic Board and Its Photocatalysis Capability to Degrade Pentachlorophenol	
Photocatalytic Degradation Kinetics and Mechanism of Monoazo Dye Acid Yellow 17 by UV/TiO2 in Aqueous Solution	YANG Hai, WEI Hong-qin, HU Le-tian, et al. (3086)
Feasibility of Sulfur-based Autotrophic Denitrification of Photovoltaic Wastewater Containing High Fluorine	MA Hang, ZHU Qiang, ZHU Liang, et al. (3094)
Operation Performance of a Bioaugmented Membrane-aerated Biofilm Reactor Treating Atrazine Wastewater	LIU Chun, YU Chang-fu, ZHANG Jing, et al. (3101)
Nitrogen Removal of Municipal Wastewater by ANAMMOX Coupled Shortcut Nitrification in Anaerobic Baffled Reactor	WU Peng, ZHANG Shi-ying, SONG Yin-ling, et al. (3108)
Simultaneous Ferric Reduction with Ammonia Oxidation Phenomena in Activated Sludge in Anaerobic Environment	LI Xiang, LIN Xing, YANG Peng-bing, et al. (3114)
Rapid Start-up of One-stage Autotrophic Nitrogen Removal Process in EGSB Reactor for Wastewater with Low Concentration of Ammo	onia GU Shu-jun, FANG Fang, LI Kai, et al. (3120)
Phosphorus Removal Performance in EBPR System under Extra-low Dissolved Oxygen Condition	MA Juan, SONG Lu, YU Xiao-jun, et al. (3128)
Influence of Activated Sludge Surface Properties on Flocculating Settling and Effluent Suspend Solid	-
Spatial Characteristics and Environmental Risk of Heavy Metals in Typical Gold Mining Area of Shandong Province	* 9
Spatial Variation of Soil Heavy Metals in an E-waste Dismantling Area and Their Distribution Characteristics	
Selenate Adsorption and Desorption in 18 Kinds of Chinese Soil with Their Physicochemical Properties	
Adsorption Characteristics of Arsenite on Goethite by Flow Stirring Method	
Preparation of Poly-hydroxy-aluminum Pillared Diatomite and Characteristics of Cu ²⁺ , Zn ²⁺ Adsorption on the Pillar in Aqueous So	
Topauloi o Toj njuos, alimini Tima o Sulomo and Giladello o Gu i juli Sulomo and Tima ii siqueba o G	
Preparation and NH ₄ ⁺ -N Removal Performance of a Novel Filter Substrate Made from Sludges	
Preparation of Nanocomposite Hydrogel and Its Adsorption of Heavy Metal Ions	
Prediction of PAHs Bioavailability in Spiked Soil by Composite Extraction with Hydroxypropyl-β-cyclodextrin and Rhamnolipid ··· Z	
Biological Effects of ZnO Nanoparticles as Influenced by Arbuscular Mycorrhizal Inoculation and Phosphorus Fertilization	
Difference of Species Sensitivities for Aquatic Life Criteria in China and the USA	
Effects of Low-level Nutrition and Trace Antibiotics on the Fitness Cost of Plasmids Bearing Antibiotic Resistance Effect of Different Nitrogen Rates on the Nitrification Potential and Abundance of Ammonia-oxidizer in Intercropping Maize Soils	Law wen-rang, Crien Sneng, WAN Kun, et al. (3224)
	IÜ Vu ZHOU Long LONG Cuana siana at al. (2220)

《环境科学》第6届编辑委员会

主 编:赵进才

副主编:赵景柱 郝吉明 田 刚

编 委: (按姓氏笔画排序)

万国江 王华聪 王凯军 王绪绪 田 刚 田 静 史培军

朱永官 刘志培 刘 毅 汤鸿霄 孟 伟 周宗灿 林金明

赵进才 赵景柱 姜 林 郝郑平 郝吉明 聂永丰 黄 霞

黄耀鲍强潘纲潘涛魏复盛

环维种草

(HUANJING KEXUE)

(月刊 1976年8月创刊)

2016年8月15日 第37卷 第8期

ENVIRONMENTAL SCIENCE

(Monthly Started in 1976)

Vol. 37 No. 8 Aug. 15, 2016

		1 - 74 - 11 - 11 - 12 - 11 - 774			
主	管	中国科学院	Superintended	by	Chinese Academy of Sciences
主	办	中国科学院生态环境研究中心	Sponsored	by	Research Center for Eco-Environmental Sciences, Chinese
协	办	(以参加先后为序)			Academy of Sciences
		北京市环境保护科学研究院	Co-Sponsored	by	Beijing Municipal Research Institute of Environmental
		清华大学环境学院			Protection
主	编	赵进才			School of Environment, Tsinghua University
编	辑	《环境科学》编辑委员会	Editor-in -Chief	•	ZHAO Jin-cai
>m	7-4	北京市 2871 信箱(海淀区双清路	Edited	by	The Editorial Board of Environmental Science (HUANJING
		18号,邮政编码:100085)			KEXUE)
		电话:010-62941102,010-62849343			P. O. Box 2871, Beijing 100085, China
		传真:010-62849343			Tel:010-62941102,010-62849343; Fax:010-62849343
		E-mail:hjkx@ rcees. ac. cn			E-mail; hjkx@ rcees. ac. cn
		http://www.hjkx.ac.cn			http://www.hjkx.ac.cn
出	版	4 学业版社	Published	by	Science Press
-	742	北京东黄城根北街 16 号			16 Donghuangchenggen North Street,
		邮政编码:100717			Beijing 100717, China
印刷装	ŧ订	北京北林印刷厂	Printed	by	Beijing Bei Lin Printing House
发	行	斜华出版社	Distributed	by	Science Press
		电话:010-64017032			Tel:010-64017032
		E-mail:journal@mail.sciencep.com			E-mail; journal@ mail. sciencep. com
订 购	处	全国各地邮电局	Domestic		All Local Post Offices in China
国外总统	发行	中国国际图书贸易集团有限公司	Foreign		China International Book Trading Corporation (Guoji
		(北京 399 信箱)			Shudian), P. O. Box 399, Beijing 100044, China

中国标准刊号: ISSN 0250-3301 CN 11-1895/X

国内邮发代号: 2-821

国内定价:120.00元

国外发行代号: M 205

国内外公开发行